



**BIODIVERSITY RESEARCH AND TRAINING PROGRAM
(PHASE II)**

รายงานฉบับสมบูรณ์

โครงการ

การศึกษาความแตกต่างและการวิวัฒนาการของเชื้อ *Burkholderia pseudomallei* ชนิดที่มีโครงสร้างของไลโป-polysaccharide (LPS) โดยใช้วิธี พีซีอาร์-อาร์เอฟแอลพี

**Differentiation and evolutionary study based on lipopolysaccharide (LPS)
structure of *Burkholderia pseudomallei* using PCR-RFLP technique.**

โดย

**รศ. ดร. สุมาลี ตั้งประดับกุล
ภาควิชาชีวเคมี คณะวิทยาศาสตร์ มหาวิทยาลัยมหิดล**

๓๑ มกราคม ๒๕๔๘



**BIODIVERSITY RESEARCH AND TRAINING PROGRAM
(PHASE II)**

รายงานฉบับสมบูรณ์

โครงการ

การศึกษาหาความแตกต่างและการวิวัฒนาการของเชื้อ *Burkholderia pseudomallei* ชนิดที่มีโครงสร้างของไลโปโลปีเพลคิวไรด์ที่แตกกันโดยใช้วิธี พีซีอาร์-อาร์เอฟแอลพี

Differentiation and evolutionary study based on lipopolysaccharide (LPS)
structure of *Burkholderia pseudomallei* using PCR-RFLP technique.

โดย

รศ. ดร. สุมาลี ตั้งประดับกุล
ภาควิชาชีวเคมี คณะวิทยาศาสตร์ มหาวิทยาลัยมหิดล

รายงานฉบับสมบูรณ์

โครงการ

การศึกษาหาความแตกต่างและการวิวัฒนาการของเชื้อ *Burkholderia pseudomallei* ชนิดที่มีโครงสร้างของไลโปโพลิแซคคาไรด์ที่แตกกันโดยใช้วิธี พีซีอาร์-อาร์เอฟแอลพี

Differentiation and evolutionary study based on lipopolysaccharide (LPS) structure of *Burkholderia pseudomallei* using PCR-RFLP technique.

คณะผู้วิจัย

- | | |
|---------------------------------|---|
| 1. รศ. ดร. สุมาลี ตั้งประดับกุล | ภาควิชาชีวเคมี คณะวิทยาศาสตร์ มหาวิทยาลัยมหิดล |
| 2. นางสาวพินน์นรา ใจน้ำรัตน์ | ภาควิชาชีววิทยา คณะวิทยาศาสตร์ มหาวิทยาลัยมหิดล |
| 3. นางสาวอัญญา คณานุรักษ์ | ภาควิชาชีววิทยา คณะวิทยาศาสตร์ มหาวิทยาลัยมหิดล |

สนับสนุนโดยโครงการพัฒนาองค์ความรู้และศึกษานโยบายการจัดการทรัพยากรชีวภาพ
ในประเทศไทย (โครงการ BRT)

กิตติกรรมประกาศ

โครงการวิจัยนี้ได้รับทุนสนับสนุนจากโครงการพัฒนาองค์ความรู้และศึกษาเชิงการ
ขัดการทรัพยากรชีวภาพในประเทศไทย (โครงการ BRT) ซึ่งร่วมขัดตั้งโดยสำนักงานกองทุน
สนับสนุนการวิจัย และ ศูนย์พันธุ์สัตว์เศรษฐกรรมและเทคโนโลยีชีวภาพแห่งชาติ รหัสโครงการ BRT
R_247001

คณะผู้วิจัยขอขอบคุณ ศาสตราจารย์ ดร.สติตต์ ศิริสิงห์ และ คุณ นริศรา จันทร์ทิตย์ ที่
กรุณาริ้วคำแนะนำการศึกษา LPS pattern และ การให้เชื้อหลักจากประเทศออสเตรเลีย ผู้วิจัยขอ
ขอบคุณ คุณวรรณพ วุฒิเอกอนันต์ จาก Welcome Unit ที่กรุณาริ้วเชื้อจากผู้ป่วยในประเทศไทย และ
เป็นผู้ประสานการให้เชื้อจากประเทศไทย และส่องกล้องโดยขอขอบคุณ Director Suzanne Gendron,
Division of Zoological Operation and Education, Ocean Park Corporation, Hongkong ที่ให้ความ
อนุเคราะห์การใช้เชื้อที่ได้จากการส่องกล้องจากนี้ผู้วิจัยต้องขอขอบคุณ คุณสุดา ตนพิมูลย์ศักดิ์ ที่
ให้คำแนะนำการทำ PCR-RFLP และคุณคุบล ตั้งนานิช และคุณอัญชลี ฐานวิสัย ที่แนะนำการใช้
โปรแกรม Phylogenetic tree

บทคัดย่อ

การศึกษาการใช้เทคนิคพีซีอาร์-อาร์เอฟแอลพี เพื่อการแยกความแตกต่างของเชื้อ *Burkholderia pseudomallei* ที่มีโครงสร้างของไลโปโพลิแซคคาไรด์ (แอลพีโอส) ที่แตกต่างกัน เนื่องจากมีรายงานการศึกษาโครงสร้างของไลโปโพลิแซคคาไรด์ ที่สกัดจากเชื้อ *B. pseudomallei* จากแหล่งต่างๆทั่วไปในประเทศไทยเทียบกับเชื้อที่แยกได้จากประเทศไทยอสเตรเลีย ซึ่งพบว่าเชื้อที่แยกได้จากประเทศไทย ส่วนมากจะมีโครงสร้างของแอลพีโอส เป็นชนิดที่เป็นขั้นบันได เรียกว่า Typical ส่วนเชื้อที่แยกได้ในประเทศไทยอสเตรเลียส่วนใหญ่จะให้โครงสร้างของแอลพีโอส เป็นชนิดไม่มีขั้นบันได เรียกว่าเป็น Atypical จากข้อมูลดังกล่าวทำให้เกิดข้อสมมุติฐานว่าเชื้อที่เกี่ยวข้องในการสังเคราะห์แอลพีโอสน่าจะมีความแตกต่าง รวมทั้งความแตกต่างที่พบนี้น่าจะนำไปสู่ความเข้าใจในเรื่องของการวิจัยและการ ของการกระจายของเชื้อดังกล่าว ได้

การวิจัยนี้จึงได้นำข้อมูลยืนที่เกี่ยวข้องในการสังเคราะห์แอลพีโอส คือ WaaF gene ที่ได้มีศึกษาว่ามีส่วนเกี่ยวข้องในกระบวนการสังเคราะห์แอลพีโอส โดยนำมาเป็นยีนเป้าหมายเพื่อศึกษาความแตกต่างในระดับนิวคลีโอไทด์ วิธีการหนึ่งที่มีความไวสูงและจำเพาะในการศึกษาคือ การใช้เทคนิคพีซีอาร์-อาร์เอฟแอลพี โดยศึกษาหาอนไซม์ตัดจำเพาะที่จะสามารถแยกความต่างได้อย่างน้อย 3 เอนไซม์ คือ EcoRI, PstI, NotI จากการศึกษาเชื้อตัวอย่างในแหล่งต่างๆทั้งที่ได้จากผู้ป่วย สัตว์และแหล่งดินในประเทศไทย ออสเตรเลีย ลาว และช่องกง จำนวน 141 ตัวอย่าง พบแบบแผนของพีซีอาร์-อาร์เอฟแอลพี แบ่งเป็น 4 กลุ่ม คือ (1) แบบแผนของพีซีอาร์ที่ตัดได้ 1 ตำแหน่งด้วยอินไซม์ทั้ง 3 เอ็นไซม์ (2) แบบแผนของพีซีอาร์ที่ตัดได้ 1 ตำแหน่งด้วยอินไซม์ 2 เอ็นไซม์ คือ PstI, NotI (3) แบบแผนของพีซีอาร์ที่ตัดได้ 1 ตำแหน่งด้วยอินไซม์ 1 เอ็นไซม์ คือ EcoRI, และ (4) แบบแผนของพีซีอาร์ที่ตัดได้ 1 ตำแหน่งด้วยอินไซม์ 2 เอ็นไซม์ คือ EcoRI, NotI และตัดได้มากกว่า 1 ตำแหน่ง คือ PstI, เมื่อเปรียบเทียบกับแบบแผนของ LPS ซึ่งมี 3 แบบ คือ (1) แบบขั้นบันได Typical (2) แบบไม่มีขั้นบันได (Atypical) และ (3) แบบไม่มีแบบ (Smear) หลังจากนำข้อมูลแบบแผนพีซีอาร์-อาร์เอฟแอลพี มาวิเคราะห์สร้าง Phylogenetic tree เปรียบเทียบกับการสร้าง Phylogenetic tree ที่นำข้อมูลจากพีซีอาร์-อาร์เอฟแอลพีรวมกับ LPS สามารถหาความสัมพันธ์ในการกระจายของเชื้อเป็น 6 แบบ ที่นำเสนอคือ เชื้อที่มาจากการแพร่ระบาดในประเทศไทย คือเชื้อที่แยกจากกลุ่มอื่นอย่างชัดเจน แต่เนื่องจากมีจำนวนน้อยจึงน่าจะทำเพิ่ม ส่วนการหาความสัมพันธ์กับการก่อความรุนแรงของการก่อโรคยังไม่ได้วิเคราะห์ซึ่งจะเพิ่มเติมในภายหลัง

Abstract

The project is aim to differentiate *B. pseudomallei* having different lipopolysaccharide (LPS) structure based on PCR-RFLP technique. Recently, it has been reported the different LPS structure found in *B. pseudomallei*. Particularly, the major LPS structures found in *B. pseudomallei* isolated from Thailand are ladder patterns, so called typical pattern. In contrast, the major LPS structures of *B. pseudomallei* isolated from Australia are smear patterns, so called atypical pattern. We therefore hypothesize that gene(s) involved in the LPS biosynthesis might be difference and might be related with evolutionary or distribution of the bacteria.

Our study is focused on a gene, WaaF gene, which involved in LPS biosynthesis. A pair of specific primers was designed based on the WaaF gene sequence. Polymerase chain reaction followed by restriction endonuclease (PCR-RFLP) analysis was performed. At least three restriction enzymes, *Eco*RI, *Pst*I, *Not*I, were used to differentiate the different LPS structure among 141 isolates from different sources such as patient, animals, environment from Thailand, Australia Lao and Hongkong. The results show the different PCR-RFLP pattern dividing into 4 patterns. (1) PCR products were digested at single size with 3 restriction enzymes, *Eco*RI, *Pst*I, *Not*I. (2) PCR products were digested at single size with 2 enzymes, *Pst*I, *Not*I. (3) PCR products were digested at single size with 1 enzyme, *Pst*I. (4) PCR were digested at single size with 2 enzymes *Eco*RI, *Not*I, and were digested at multiple sizes with *Pst*I. In addition the comparative LPS pattern of all 141 isolates were detected in three profiles that are (1) ladder pattern or typical (2) non-ladder or atypical and (3) smear pattern. Construction of phylogenetic trees under PCR-RFLP and PCR-RFLP+LPS were compared. The results show relationship of these 141 isolates with 6 characters or branches. Interestingly, the bacteria from soil isolates have distinct character that isolated from the other. However, the number of bacteria from soil isolate is too small. Thus we should investigate more number of samples. The results from this study show to be related with distribution of *B. pseudomallei* found in this region. Moreover, the different PCR-RFLP patterns and the phylogenetic tree in this study still could not explain to the differences in virulent property of the bacteria that needs more analysis of the data.

สารบัญ

หน้า

ปก	i
กิตติกรรมประกาศ	ii
บทคัดย่อ	iii
สารบัญ	v
สารบัญตาราง	vi
สารบัญภาพ	vii
บทนำ	1
วัตถุประสงค์	2
ระเบียบการวิจัย	3
ผลการวิจัย	4
สรุปและวิจารณ์การวิจัย	14
เอกสารอ้างอิง	16
ภาคผนวก	17
รายงานการเงิน	18

สารบัญตาราง

หน้า

ตารางที่ 1 สรุปจำนวนเชื้อและการแสดงผลแบบแผนของ LPS และ PCR-RFLP

9

สารบัญภาพ

	หน้า
รูปที่ 1 แสดงแบบแผนของ LPS ที่สกัดจากเชื้อจากแหล่งต่างๆ	4
รูปที่ 2 แสดงแบบแผนของดีอีนเอที่สกัดก่อนเพื่อใช้เป็นยืนยันเป้าหมาย (ก) แสดงแบบแผนพีซีอาร์จากยืนยันเป้าหมายในรูปที่ 2 ก (ข)	5
รูปที่ 3 แสดงแบบแผนพีซีอาร์จากยืนยันเป้าหมายที่ได้จากเบคทีเรียโดยตรง	6
รูปที่ 4 แสดงแบบแผนผ่านผลผลิตพีซีอาร์ที่ถูกตัดด้วยอนไซม์ 3 ชนิด	7
รูปที่ 5 แสดงตัวอย่างแบบแผนที่ได้จากเบคทีเรียแหล่งต่างๆที่ใช้ PCR-RFLP ที่ต่างกัน	8
รูปที่ 6ก แสดง Phylogenetic tree ที่สร้างจากการใช้แบบแผน PCR-RFLP	12
รูปที่ 6ข แสดง Phylogenetic tree ที่สร้างจากการใช้แบบแผน PCR-RFLP และ LPS	13

บทนำ

เนื่องจากเชื้อ *B. pseudomallei* เป็นแบคทีเรียที่ก่อโรคในคนที่เรียกว่า โรคเมดิอยโดสิส โดยในระยะแรกๆพบว่า แหล่งของเชื้อนี้พบมากในแถบประเทศไทยและเวียดนามโดยเฉพาะภาคอีสานของประเทศไทย และภาคเหนือของประเทศไทยอสเตรเลีย แต่ต่อมาเริ่มมีรายงานการพบเชื้อดังกล่าวมากขึ้น ทั้งในประเทศไทยเอง จีน เป็นต้น อย่างไรก็ตามในการศึกษาเพื่อบ่งชี้ความหลากหลายของสายพันธุ์ของเชื้อดังกล่าวได้มีการศึกษา เช่น การศึกษาการใช้ ribotyping, การใช้ RFLP-Micropattern และ RFLP-Macropattern จากการแยกด้วย Pulse field gel electrophoresis สามารถแยกความหลากหลายของสายพันธุ์ แต่ยังไม่สามารถใช้เป็น marker ในระดับการวิจัยการของเชื้อ ได้ อีกทั้งยังไม่สามารถหาความสัมพันธ์ของการก่อโรคที่รุนแรง

เมื่อไม่นานมานี้ สิริสิงห์, ส. และคณะได้ศึกษาการดูแบบแผนของ Lipopolysaccharide (LPS) ที่สักด้วยเชื้อ *B. pseudomallei* สายพันธุ์ในแหล่งต่างๆในประเทศไทย และเปรียบเทียบกับสายพันธุ์ในแหล่งต่างๆจากประเทศไทยอสเตรเลีย โดยพบว่าแบบแผนของ LPS ที่สักด้วยเชื้อ *B. pseudomallei* มีลักษณะที่แตกต่างกันอย่างชัดเจนเป็น 2 ลักษณะ คือ ชนิดที่ให้แบบแผนเป็นขั้นบันได (ladder) หรือเรียกว่า Typical pattern ซึ่งพบมากในสายพันธุ์ที่แยกได้ในประเทศไทย กับชนิดที่ไม่มีแบบแผนเป็นขั้น (smear) หรือเรียกว่า Atypical pattern ซึ่งพบมากในสายพันธุ์ที่แยกได้จากประเทศไทยอสเตรเลีย โดยที่ข้อมูลในการติดเชื้อและการก่อโรคมักจะพบความรุนแรงในกลุ่มประชากรไทยมากกว่าในกลุ่มประชากรอสเตรเลีย ซึ่งจะเห็นได้ว่าข้อมูลดังกล่าวนี้ น่าจะมีความสัมพันธ์ในชนิดของเชื้อที่มี LPS ที่แตกต่างต่อการกระจายหรือแพร่ที่พบร่องจากนี้ LPS ยังเป็นหนึ่งใน Virulent factor ที่ได้มีการศึกษาอย่างกว้างขวาง โดยเฉพาะในเชื้อ *B. pseudomallei* พบร่วมกับ LPS เป็นปัจจัยหนึ่งที่มีความสำคัญในการก่อโรค แต่เนื่องจากแบบแผนของ LPS ที่ได้ไม่สามารถนำมาเปรียบเทียบหรือวิเคราะห์เพื่อการหาความสัมพันธ์ทางวิจัยการ ได้ ในขณะที่ข้อมูลของยืนยันหรือความแตกต่างของยืนยันจะสามารถนำมาวิเคราะห์ความสัมพันธ์ในการวิจัยการ และสามารถวิเคราะห์การกระจายของแหล่งของเชื้อได้

โครงการวิจัยนี้มุ่งที่จะนำประโยชน์ทาง molecular marker ที่มีความชัดเจนหรือมีความสัมพันธ์กับการก่อโรคมาใช้ เพื่อหาความหลากหลายของสายพันธุ์อย่างมีนัยสำคัญในเชิงวิจัยการ

การกระจายตัวและอาจนำไปสู่ความสัมพันธ์ของการก่อความรุนแรงของโรค Molecular marker ที่นำมาใช้ในการศึกษานี้ได้เลือก WaaF gene ซึ่งได้มีการศึกษาแล้วว่าเกี่ยวข้องกับการสังเคราะห์ Lipopolysaccharide (LPS) ที่เป็นปัจจัยสำคัญอย่างหนึ่งในการก่อความรุนแรงของโรคเมดิอยโดสิส ดังนั้นถ้าการพัฒนาวิธีการ PCR-RFLP ของยืนดังกล่าวโดยศึกษาหา่อนไซม์ตัดจำพวกที่สามารถแยกความต่างได้อย่างน้อย 3 โอนไซม์ คือ *EcoRI*, *PstI*, *NotI* และให้แบบแผนที่สามารถแยกความแตกต่างได้ก็น่าจะสามารถเปรียบเทียบความสัมพันธ์ในการ

วิวัฒนาการ การกระจายของเชื้อ รวมทั้งน่าจะมีความสัมพันธ์ต่อความรุนแรงของการก่อโรค ซึ่งจะเป็นประโยชน์อย่างมากต่อความเข้าใจการรับยาและการควบคุมการระบาดของโรค

ด้วยเหตุนี้การเลือกศึกษาในโครงการวิจัยนี้ นอกจากจะเป็นประโยชน์ในด้านความเข้าใจการระบาดและการควบคุมการระบาดของเชื้อก่อโรคนี้ ยังสามารถเข้าใจแหล่งการแพร่ของการวิวัฒนาการของเชื้อ ก่อโรคนี้ ซึ่งจะเป็นประโยชน์ในการคาดการณ์ของการวิวัฒนาการ การระบาดของเชื้อดังกล่าวได้ โดยที่ความรู้ทางการวิวัฒนาการของเชื้อเป็นสิ่งที่มีความสำคัญในด้านองค์ความรู้ต่อการจัดการความหลากหลายของเชื้อในด้านสาธารณสุขและการแพทย์

วัตถุประสงค์โครงการ

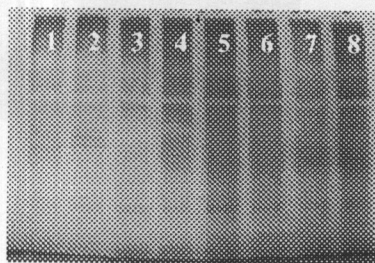
1. การพัฒนาการใช้เทคนิค PCR-RFLP ในการแยกความแตกต่างของเชื้อ *B. pseudomallei* ที่มีความแตกต่างของ Lipopolysaccharide structure โดยใช้ WaaF เป็นยีนเป้าหมาย และการเลือกใช้เอนไซม์ตัดจำเพาะ ประมาณ 3 ชนิด ในการแยกความแตกต่าง
2. วิเคราะห์ผลของ PCR-RFLP และการใช้วิเคราะห์ทางคอมพิวเตอร์ในการสร้าง Phylogenetic Tree เพื่อการอธิบายในเชิงการวิวัฒนาการและการกระจายของเชื้อ *B. pseudomallei* ในพื้นที่ต่างๆ

ระเบียบการวิจัย

1. แบนคที่เรียดตัวอย่างที่ทำการศึกษา เป็นแบนคที่เรียชนิด *B. pseudomallei* ที่แยกจากผู้ป่วย และจากแหล่งคืน น้ำ ในถิ่นต่างๆ ที่มีการระบาดของโรคเมดิออยโดสิส โดยการเก็บตัวอย่างส่วนใหญ่จะมาจากการล้วนในประเทศไทย ประเทศกัมพูชา เปรyi ประเทศเวียดนาม ประเทศช่องกง เป็นต้น โดยจะใช้จำนวนเชื้อมากกว่า 200 isolates โดยให้มีสัดส่วนของเชื้อที่ใช้ที่เป็นชนิด typical LPS ต่อ ชนิด atypical LPS เป็น 50% ต่อ 50% แต่เนื่องจากเชื้อที่พบในประเทศไทยส่วนใหญ่เป็นชนิด typical LPS ดังนั้นหากตัวอย่างที่ใช้ศึกษาไม่สามารถได้ตามสัดส่วนตามที่ระบุไว้อาจปรับเปลี่ยนให้มีความเป็นไปได้มากที่สุดคือ เป็นชนิด typical LPS : atypical LPS เป็น 70% : 30% และทำการสืบหาข้อมูลสำหรับเชื้อที่แยกจากผู้ป่วยว่ามีความรุนแรงมากน้อยเพียงใด มี ribotype แบบใด หรือ source of infection and arabinose assimilation รวมทั้งเปรียบเทียบแบบแผนของ LPS ซึ่งข้อมูลดังกล่าวจะได้รับมาวิเคราะห์ต่อไป
2. การสกัดดีเอ็นเอ นำแบนคที่เรียดตัวอย่างที่ได้มาทำการสกัดดีเอ็นเอ เพื่อนำมาเป็นแม่แบบในการเพิ่มขยายยีนเป้าหมายโดยวิธีพีซีอาร์ ขณะเดียวกันจะทำการพัฒนาการเพิ่มขยายยีนเป้าหมายโดยการใช้ดีเอ็นเอจากเซลล์แบนคที่เรียโดยตรง เพื่อให้การศึกษาจำนวนแบนคที่เรียได้ครั้งละมากๆ
3. การพัฒนาวิธีการเพิ่มจำนวนยีนเป้าหมายโดยพีซีอาร์ โดยในการวิจัยนี้จะเลือกการใช้ยีนเป้าหมายที่เกี่ยวข้องกับการสังเคราะห์ LPS นั่นคือยีน WaaF โดยจะออกแบบไพรเมอร์ที่จำเพาะของยีน ทำการเพิ่มจำนวนยีนจากดีเอ็นเอของแบนคที่เรียในข้อ 4.2 และวิเคราะห์โดยวิธีวิเคราะห์โดยวิธีอิเลคโทรฟอร์เซติส
4. การหาแบบแผนของ PCR-RFLP เมื่อได้ผลผลิตของพีซีอาร์ที่ได้ จะนำมาทดสอบโดยการตัดด้วยเอนไซม์ตัดจำเพาะ อย่างน้อย 3 เอนไซม์ เนื่องจากได้มีการทดสอบในเบื้องต้นแล้วว่ายีนเป้าหมาย WaaF มีลำดับเบสที่มี polymorphism ซึ่งสามารถติดตามด้วยเอนไซม์ อย่างน้อย 3 เอนไซม์ คือ EcoRI NotI และ PstI การที่ยีนเป้าหมายมีลำดับเบสที่มี polymorphism จึงทำให้สามารถใช้เป็นประโยชน์ในการติดตามวิวัฒนาการ และสร้าง Phylogenetic tree ได้ นอกจากนี้อาจต้องใช้เอนไซม์เพิ่มขึ้นเพื่อระบุความแตกต่าง ได้ระเอียดขึ้น กรณีนี้ขึ้นกับความเหมาะสมของ การทดลองต่อไป
5. การวิเคราะห์ข้อมูลและการสร้าง Phylogenetic tree นำข้อมูลจากการทำ PCR-RFLP มาวิเคราะห์และสร้างผังในการแยกสายพันธุ์ การวิวัฒนาการ โดยอาศัย คอมพิวเตอร์

ผลการวิจัย

- แบบที่เรียดตัวอย่างที่ทำการศึกษา ในรายงานนี้แบบที่เรียชื่อ *B. pseudomallei* ที่ใช้มาจากผู้ป่วยในประเทศไทย (รหัส NF มาจาก NH กระทรวงสาธารณสุข, รหัส Bp มาจาก ศ.สสิ ศิริสิงห์ภาควิชาจุลชีววิทยา มหาวิทยาลัยมหิดล) จำนวน 67 ตัวอย่าง รหัสที่เป็นตัวเลขจากผู้ป่วย 10 ตัวอย่าง และเชื้อจากแหล่งดินในประเทศไทย เป็นรหัส E จำนวน 3 ตัวอย่าง และจากประเทศลาว เป็นรหัส L จำนวน 10 ตัวอย่าง รวมทั้งจากประเทศย่องกง เป็นรหัส HK จำนวน 10 ตัวอย่าง (จาก Welcome Unit คณะเวชศาสตร์ มหาวิทยาลัยมหิดล) และเชื้อจากประเทศอสเตรเลีย 41 ตัวอย่าง (ซึ่งยังไม่ระบุแหล่งของเชื้อ เป็นการทำ Blind Test) รวมทั้งสิ้น 141 ตัวอย่างซึ่งแสดงในตารางที่ 1
- ผลการทดสอบ LPS แบบที่เรียดตัวอย่างทั้ง 141 ตัวอย่างได้ถูกนำมาทดสอบแบบแผน LPS ซึ่งจะได้ระบุไว้ในตารางที่ 1 ผลการเปรียบเทียบแบบแผน LPS ดังแสดงในรูปที่ 1

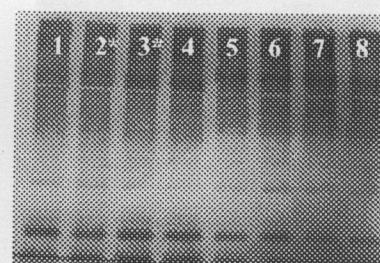


lane 1 Typical ladder

lane 2 Atypical ladder

lane 3 Smear pattern

lane 4-8 Typical ladder



lane 1 Typical ladder

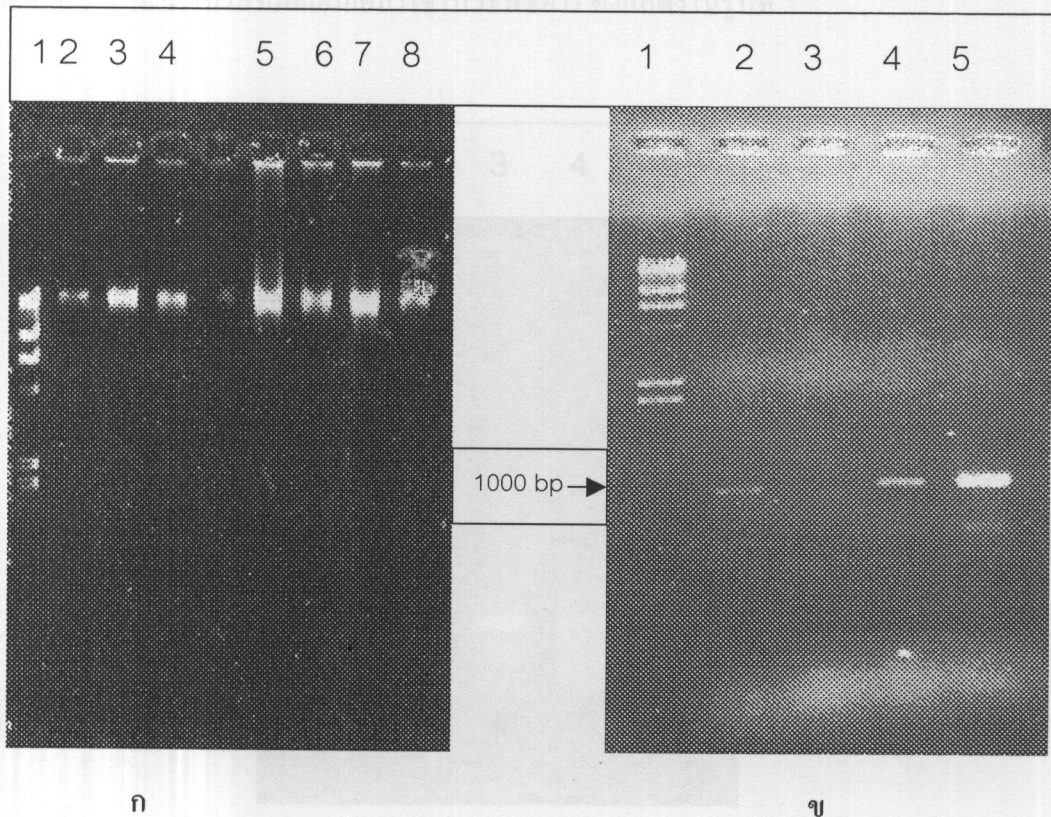
lane 2,3 Typical ladder*

lane 4 Typical ladder

lane 5-8 Atypical ladder

รูปที่ 1 แสดงแบบแผนของ LPS ที่สกัดจากเชื้อแบบที่เรีย *B. pseudomallei* จากแหล่งต่างๆที่ให้แบบแผนแตกต่างกัน 3 รูปแบบ คือ Typical ladder, Atypical ladder และ Smear pattern

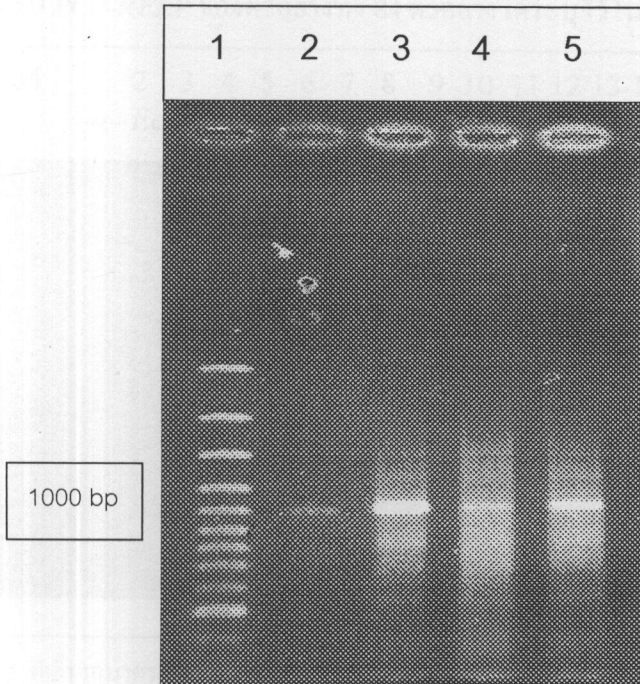
3. การสกัดดีเอ็นเอ นำแบคทีเรียตัวอย่างที่ได้มาทำการสกัดดีเอ็นเอ เพื่อนำมาเป็นแม่แบบในการเพิ่มข่ายยีนเป้าหมายโดยวิธีพิชีอาร์ ซึ่งแสดงในรูปที่ 2



รูปที่ 2 ก. แสดงแบบแผนของดีเอ็นเอที่สักจากเชื้อแบคทีเรีย ก่อนนำมาเป็นดีเอ็นเอเป้าหมายในการทำพิชีอาร์ ข. แสดงแบบแผนของผลผลิตพิชีอาร์จากยีนเป้าหมาย WaaF โดยใช้ดีเอ็นเอแม่แบบจาก ก.

- ก. แ夸ที่ 1 เป็นดีเอ็นเอม่าตรฐานที่ตัดด้วย.enon ไซม์ HindIII (λ HindIII)
- แ夸ที่ 2, 3, 4 เป็นดีเอ็นเอที่สักได้จากแบคทีเรีย NF10/38 ที่ใช้ความเข้มข้นต่างกัน
- แ夸ที่ 5, 6, 7, 8 เป็นดีเอ็นเอที่สักได้จากแบคทีเรีย NF47/38 ที่ใช้ความเข้มข้นต่างกัน
- ข. แ夸ที่ 1 เป็นดีเอ็นเอม่าตรฐานที่ตัดด้วย.enon ไซม์ HindIII (λ HindIII)
- แ夸ที่ 2 และ 3 เป็นผลผลิตพิชีอาร์ที่ใช้ดีเอ็นเอจาก NF10/38 เป็นแม่แบบ โดยใช้ปริมาณแตกต่างกัน
- แ夸ที่ 4 และ 5 เป็นผลผลิตพิชีอาร์ที่ใช้ดีเอ็นเอจาก NF10/38 เป็นแม่แบบ โดยใช้ปริมาณแตกต่างกัน

4. การพัฒนาการใช้ดีเอ็นเอจากเซลล์แบคทีเรียโดยตรง ได้มีการพัฒนาการใช้ดีเอ็นเอเป้าหมายจากเซลล์โดยตรง โดยการนำแบคทีเรียที่เติบโตในอาหารเลี้ยงที่มีข้าวโพดโคลนีเพอเหมาะสมมาแยกกระจายในน้ำกลั่น 500 μl จากนั้นนำไปต้มที่ 100 องศา 10 นาที ปั่นแยกเซลล์ที่ตกตะกอน นำเอาส่วนใสที่มีดีเอ็นเอมาใช้ในวิธีพีซีอาร์ ดังแสดงในรูปที่ 3



รูปที่ 3 แสดงแบบแผนของผลผลิตพีซีอาร์ที่ได้จากการใช้แบคทีเรียโดยตรง โดยไม่ต้องสกัดก่อน
ถ้าที่ 1 ดีเอ็นเอมาตรฐาน 100 bp ladder
ถ้าที่ 2, 3, 4 และ 5 ผลผลิตพีซีอาร์ ที่ใช้แบคทีเรียปริมาณต่างกัน

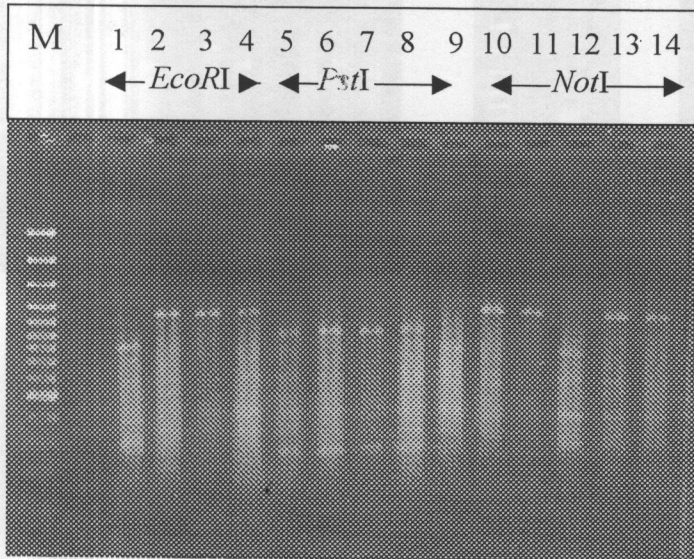
5. การพัฒนาวิธีการเพิ่มจำนวนยีนเป้าหมายโดยพีซีอาร์ โดยในการวิจัยนี้จะเลือกการใช้ยีนเป้าหมายที่เกี่ยวข้องกับการสังเคราะห์ LPS นั่นคือยีน WaaF โดยจะออกแบบไพรเมอร์ที่จำเพาะคือของยีน โดยพัฒนาสภาวะที่เหมาะสมดังนี้

FwaaF 5' AAC GAC CTG ATG CGT CGC G 3'

RwaaF 5' ACA TCA GCG CTG TCC GAC G 3'

ทำการเพิ่มจำนวนยีนจากดีเอ็นเอของแบคทีเรีย ดังแสดงในรูปที่ 2 และ 3

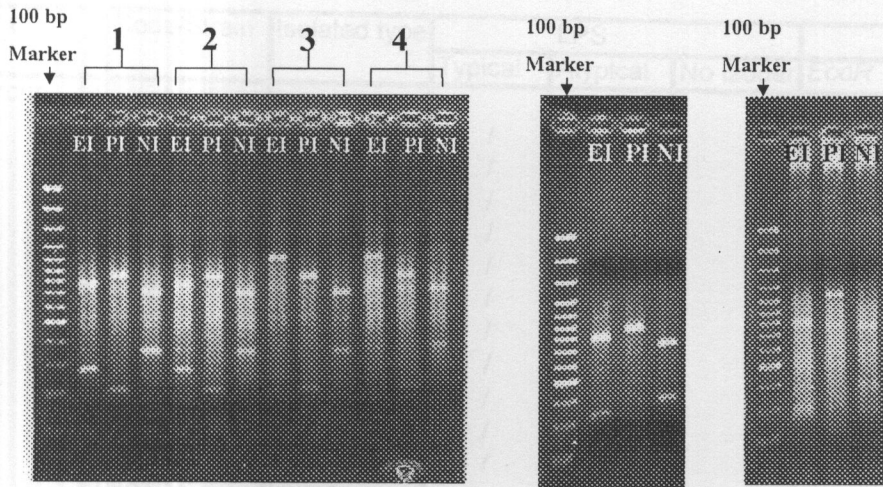
6. การหาแบบแผนของ PCR-RFLP เมื่อได้ผลผลิตของพีซีอาร์ที่ได้ ถูกนำมาทดสอบโดยการตัดด้วยเอนไซม์ตัดจำเพาะ อย่างน้อย 3 เอนไซม์ เนื่องจากได้มีการทดสอบในเบื้องต้นแล้วว่ายืนเป้าหมาย WaaF มีลำดับเบสที่มี polymorphism ซึ่งสามารถติดตามด้วยเอนไซม์ อย่างน้อย 3 เอนไซม์ คือ EcoRI NotI และ PstI แบบแผนที่ได้หลังจากการตัดด้วยเอนไซม์ดังแสดงไว้ เป็นตัวอย่างในรูปที่ 4 และ 5
7. ผลการศึกษา PCR-RFLP ของตัวอย่างทั้ง 84 ตัวอย่าง ได้ระบุไว้ในตารางที่ 1



แควร์ M คือเอ็นเอมาครรภาน 100 bp ladder

แควร์ 1, 2, 3, 4 ผลผลิตพีซีอาร์ที่ตัดด้วย EcoRI โดยแควร์ที่ 1 ตัดได้ 1 ที่ ส่วน 2, 3, 4 ตัดไม่ได้
แควร์ 5, 6, 7, 8, 9 ผลผลิตพีซีอาร์ที่ตัดด้วย PstI โดยแควร์ที่ 5, 6, 7, 8 ตัดได้ 1 ที่ ส่วน 9 ตัดได้หลายที่
แควร์ 10, 11, 12, 13, 14 ผลผลิตพีซีอาร์ที่ตัดด้วย NotI โดยแควร์ที่ 12 ตัดได้ 1 ที่ ส่วน 10, 11, 13, 14 ตัดไม่ได้

รูปที่ 4 แสดงแบบแผนของผลผลิตพีซีอาร์ที่ถูกตัดด้วยเอนไซม์ 3 ชนิด



E | หมายถึง เชื้อ *B.pseudomallei* ตัดด้วยเอนไซม์ *EcoR I*

P | หมายถึง เชื้อ *B.pseudomallei* ตัดด้วยเอนไซม์ *Pst I*

N | หมายถึง เชื้อ *B.pseudomallei* ตัดด้วยเอนไซม์ *Not I*

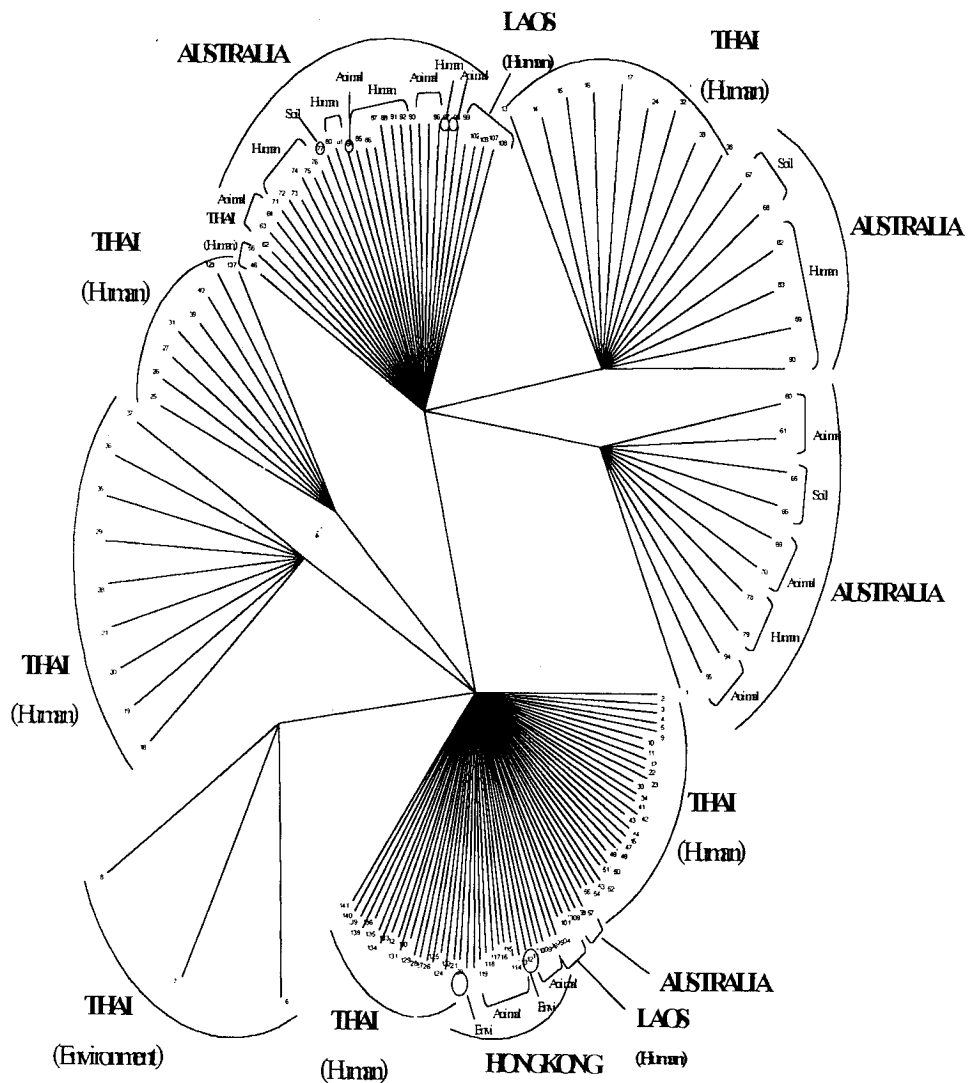
รูปที่ 5 แสดงตัวอย่างแบบแผนที่ๆ จากแบคทีเรียแอล์ต่างๆ ที่ให้ PCR-RFLP ที่แตกต่างกัน ทั้งที่ถูกตัดได้ด้วย *EcoRI* และไม่ถูกตัด, ทั้งที่ถูกตัดด้วย *NotI* และไม่ถูกตัด, ทั้งที่ถูกตัดด้วย *PstI* และไม่ถูกตัด และถูกตัดมากกว่า 1 ตำแหน่ง

ตารางที่ 1 สรุปจำนวนเชื้อแบคทีเรียที่ใช้ในการศึกษานี้ และการแสดงแบบแผนของ LPS
และการ PCR-RFLP

No.	Source	Code/Strain	Isolated type	LPS			Restriction Enzyme		
				Typical	Atypical	No ladder	EcoR I	Pst I	Not I
1	Outgroup								
2	THAI	BpNF10/38	Human	/			/	/	/
3		BpNF47/38	Human	/			/	/	/
4		BpNF105/37	Human	/			/	/	/
5		BpNF154/37	Human	/			/	/	/
6		E008	Environment	/			/	(II)	/
7		E025	Environment	/			/	(II)	/
8		E203	Environment	/			/	(II)	/
9		230a	Human	/			/	/	/
10		241a	Human	/			/	/	/
11		244a	Human	/			/	*	/
12		932a	Human	/			/	/	/
13	THAI	No1	Human		/		*	/	/
14		No2	Human		/		*	/	/
15		No3	Human		/		*	/	/
16		No4	Human		/		*	/	/
17		No5	Human		/		*	/	/
18		No6	Human		/		/	/	/
19		No7	Human		/		/	/	/
20		No8	Human		/		/	/	/
21		No9	Human		/		/	/	/
22		No10	Human	/			/	/	/
23		No11	Human	/			/	/	/
24		No12	Human		/		*	/	/
25		No13	Human		/		/	/	/
26		No14	Human		/		/	/	/
27		No15	Human		/		/	/	/
28		No16	Human		/		/	/	/
29		No17	Human		/		/	/	/
30		No18	Human	/			/	/	/
31		No19	Human			/	/	/	/
32		No20	Human		/		*	/	/
33		No21	Human		/		*	/	/
34		No22	Human	/			/	/	/
35		No23	Human		/		/	/	/
36		No24	Human		/		/	/	/
37		No25	Human		/		/	/	/
38		No26	Human		/		*	/	/
39		No27	Human			/	/	/	/
40		No28	Human			/	/	/	/
41		No29	Human	/			/	/	/
42		No30	Human	/			/	/	/
43		No31	Human	/			/	/	/
44		No32	Human	/			/	/	/
45	THAI	A	Human	/			/	/	/
46		B	Human	/			*	/	/
47		C	Human	/			/	/	/
48		D	Human	/			/	/	/

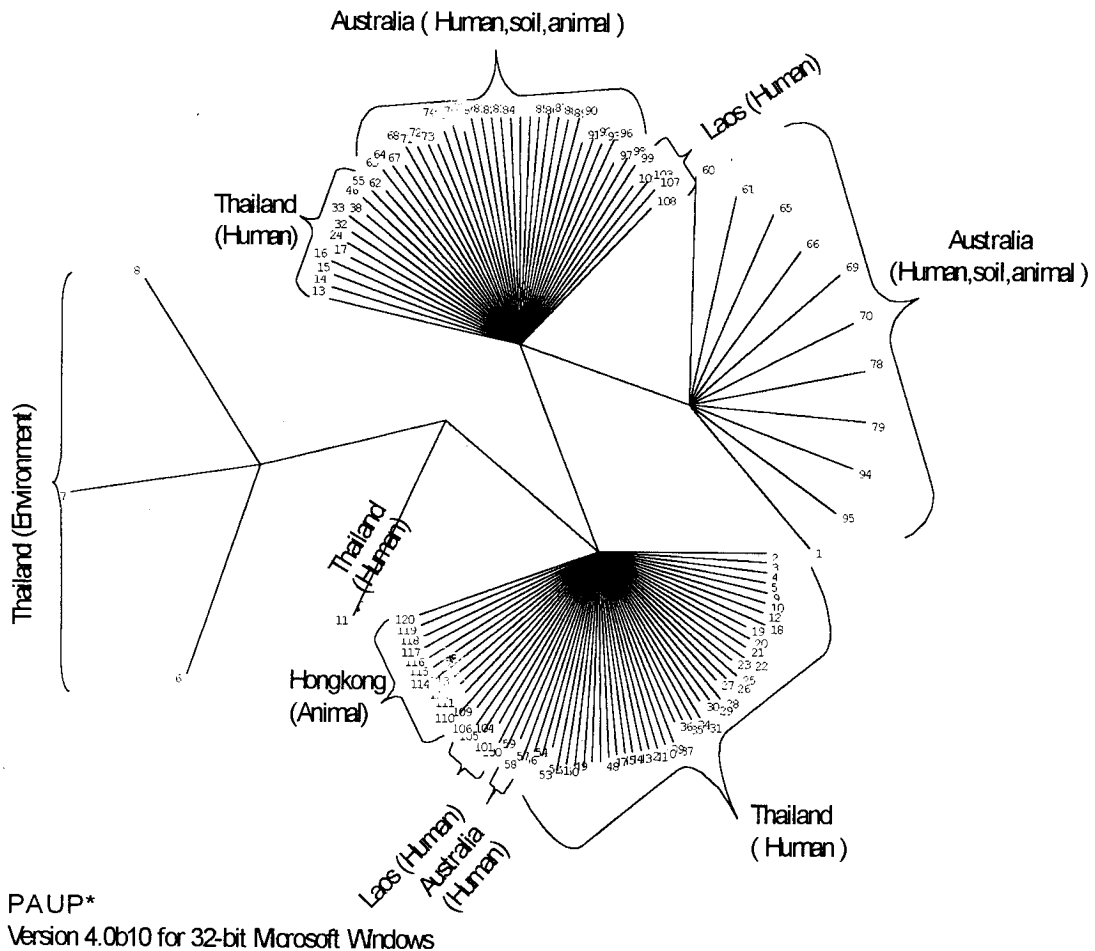
No.	Source	Code/Strain	Isolated type	LPS			Restriction Enzyme		
				Typical	Atypical	No ladder	EcoR I	Pst I	Not I
49	THAI	G	Human	/			/	/	/
50		I	Human	/			/	/	/
51		J	Human	/			/	/	/
52		P	Human	/			/	/	/
53		Q	Human	/			/	/	/
54		U	Human	/			/	/	/
55		R	Human	/			*	/	/
56		Y 1	Human	/			/	/	/
57		Z 2	Human	/			/	/	/
58		1A BA	Human	/			/	/	/
59	AUSTRALIA	1B BA	Human	/			/	/	/
60		2A BA	Animal	/			*	/	*
61		2B BA	Animal	/			*	/	*
62		3 BA	Animal	/			*	/	/
63		4A BA	Animal	/			*	/	/
64		4B BA	Animal	/			*	/	/
65		6A BA	Soil	/			*	/	*
66		6B BA	Soil	/			*	/	*
67		7A BA	Soil		/		*	/	/
68		7B BA	Soil		/		*	/	/
69		8A BA	Animal	/			*	/	*
70		8B BA	Animal	/			*	/	/
71		9A BA	Human	/			*	/	/
72		9B BA	Human	/			*	/	/
73		10 BA	Human	/			*	/	/
74		11 BA	Human	/			*	/	/
75		12 BA	Human	/			*	/	/
76		13 BA	Human	/			*	/	/
77		14 BA	Soil	/			*	/	/
78		16A BA	Human	/			*	/	*
79		16B BA	Human	/			*	/	*
80		17A BA	Human	/			*	/	/
81		17B BA	Human	/			*	/	/
82		18A BA	Human		/		*	/	/
83		18B BA	Human		/		*	/	/
84		19 BA	Animal	/			*	/	/
85		20 BA	Human	/			*	/	/
86		21 BA	Human	/			*	/	/
87		22A BA	Human	/			*	/	/
88		22B BA	Human	/			*	/	/
89		23A BA	Human		/		*	/	/
90		23B BA	Human		/		*	/	/
91		24A BA	Human	/			*	/	/
92		24B BA	Human	/			*	/	/
93		25 BA	Animal	/			*	/	*
94		26 BA	Animal	/			*	/	*
95		27 BA	Animal	/			*	/	*

No.	Source	Code/Strain	Isolated type	LPS			Restriction Enzyme		
				Typical	Atypical	No ladder	EcoR I	Pst I	Not I
96		28 BA	Animal	/			*	/	/
97		29 BA	Human	/			*	/	/
98	AUSTRALIA	30 BA	Animal	/			*	/	/
99	LAO	L03		/			*	/	/
100		L04		/			/	/	/
101		L05		/			/	/	/
102		L06		/			*	/	/
103		L07		/			*	/	/
104		L08		/			/	/	/
105		L09		/			/	/	/
106		L10		/			/	/	/
107		L13		/			*	/	/
108		L18		/			*	/	/
109	HONGKONG	HK1	Animal	/			/	/	/
110		HK2	Animal	/			/	/	/
111		HK3	Animal	/			/	/	/
112		HK4	Aerosol	/			/	/	/
113		HK5	Animal	/			/	/	/
114		HK7	Animal	/			/	/	/
115		HK8	Animal	/			/	/	/
116		HK9	Animal	/			/	/	/
117		HK10	Animal	/			/	/	/
118		HK11	Animal	/			/	/	/
119		108A	Soil	/			/	/	/
120		108B	Soil	/			/	/	/
121	THAI	1889a	Human	/			/	/	/
123		1895a	Human	/			/	/	/
123		1909a	Human			/	/	/	/
124		1923a	Human	/			/	/	/
125		2037a	Human	/			/	/	/
126		2095a	Human	/			/	/	/
127		2096a	Human	/			/	/	/
128		2102a	Human	/			/	/	/
129		2104a	Human	/			/	/	/
130		2106a	Human	/			/	/	/
131		2110a	Human	/			/	/	/
132		2111a	Human	/			/	/	/
133		2112a	Human	/			/	/	/
134		2113a	Human	/			/	/	/
135		1960	Human	/			/	/	/
136		2115a	Human	/			/	/	/
137		2116a	Human			/	/	/	/
138		2120a	Human	/			/	/	/
139		2121a	Human	/			/	/	/
140		2123a	Human	/			/	/	/
141		2124a	Human	/			/	/	/



รูปที่ 6 ๙

Phylogenetic tree ที่สร้างจากการใช้ข้อมูล LPS และ PCR-RFLP



สรุปและวิจารณ์การทดลอง

จากผลการศึกษาวิจัยในการวิเคราะห์แบบแผน LPS ของเชื้อที่ทำการศึกษาทั้งสิ้น 141 สายพันธุ์ ซึ่ง 80 ตัวอย่างมาจากประเทศไทย โดย 77 ตัวอย่างมาจากผู้ป่วย และ 3 ตัวอย่างมาจากแหล่งดิน ส่วน อีก 10 ตัวอย่างมาจากประเทศลาว 10 ตัวอย่างมาจากประเทศอ่องกง ซึ่งส่วนมากได้จากการติดเชื้อของสัตว์ และอีก 41 ตัวอย่างมาจากประเทศอสเตรเลีย โดยพบแบบแผนที่เป็น Typical เป็นส่วนใหญ่ 108/141 (76%), พบแบบแผนที่เป็น Atypical 24/141 (18.4%), และแบบแผนที่เป็น Smear 8/141 (5.6%), ซึ่งเป็นไปตามการคาดหมายที่จะพบเชื้อที่ໄว้ LPS ที่เป็น Typical มากกว่า Atypical โดยตั้งเป้าไว้ที่ 70:30 ถือว่าอยู่ในส่วนค่าที่ใกล้เคียงที่ได้เสนอไว้ และจากผลการศึกษาแบบแผน LPS พบว่าเชื้อที่มาจากการอสเตรเลียส่วนใหญ่ให้ Typical ซึ่งแตกต่างจากข้อมูลแรกที่คาดว่า เชื้อในออสเตรเลียเป็น Atypical และพบแบบแผนที่เป็น Smear เนื่องจากผู้ป่วยในไทยท่านนี้

อย่างไรก็ตามเมื่อทำการวิเคราะห์ยีน WaaF โดยวิธี PCR-RFLP ด้วยเยอนไซม์ 3 ชนิด สามารถแบ่งแบบแผนที่ได้ออกเป็น 4 กลุ่ม คือ

1. PCR-RFLP ที่ตัดได้ 1 ตำแหน่ง ของเยอนไซม์ มีทั้งสิ้น 81/141 (57.4%)
2. PCR-RFLP ที่ตัดได้ 1 ตำแหน่งทั้งเยอนไซม์ 2 เยอนไซม์ (*PstI* และ *NorI*) มี 46/141(32.6%)
3. PCR-RFLP ที่ตัดได้ 1 ตำแหน่งด้วยเยอนไซม์ชนิดเดียว *PstI* มี 9/141(6.3%)
4. PCR-RFLP ที่ตัดได้ 1 ตำแหน่งด้วยเยอนไซม์ 2 เยอนไซม์ (*EcoRI* และ *NorI*) และตัดมากกว่า 1 ตำแหน่งด้วย *PstI* มี 4/141(3.7%)

ที่นำสินใจคือ เชื้อที่ได้จากการแหล่งดินในประเทศไทยทั้งหมดให้แบบแผนที่เป็นชนิดที่ 4 เท่านั้น ซึ่งต่างจากเชื้อที่อื่นๆ แม้จะมาจากแหล่งดิน นอกจานนี้ จุดที่นำสินใจอีกรายคือ เชื้อที่ได้จากการอสเตรเลียทั้งหมดจะมีแบบแผนเป็นแบบที่ 2 และ 3 หรือกล่าวอย่างชัดเจนคือ PCR-RFLP ไม่สามารถตัดได้ด้วย *EcoRI* และจะพบกับเชื้อที่มาจากการประเทศลาวบ้าง

จากผลที่ได้ศึกษาแบบแผน PCR-RFLP นี้พบการเกิดลักษณะจำเพาะแต่ไม่จำเพาะอย่างสิ้นเชิงแต่มีนัยสำคัญที่นำสินใจคังที่ก่อตัวแล้ว ดังนั้นการจัดกลุ่ม Phylogenetic tree เพื่อหากลุ่มความสัมพันธ์จะทำให้มองเห็นภาพที่ชัดเจนขึ้น จากการสร้าง Phylogenetic tree โดยการใช้ข้อมูลการตัดผลผลิต PCR-RFLP สามารถแบ่งเป็นกลุ่มได้ 7 กลุ่ม โดยมีกลุ่มพื้นฐานใหญ่ๆ 2 กลุ่ม คือแบบแผนที่ 1 และ ที่ 2 ที่มีความสัมพันธ์กัน จากนั้นในกลุ่มที่ 1 จะแตกเป็น 3 กลุ่มย่อย ที่ชัดเจนคือเป็นสายของเชื้อในประเทศไทย ซึ่งเป็นแหล่งดินที่แยกออกจากชัดเจน 1 กลุ่ม สำหรับกลุ่มใหญ่ที่ 2 ก็มีกลุ่มย่อย 2 กลุ่ม โดยส่วนใหญ่ของ 2 กลุ่มย่อยนี้ มาจากการอสเตรเลีย และลาว มีเชื้อจากผู้ป่วยไทยกระจายอยู่ในกลุ่มย่อยนี้บ้าง สำหรับเชื้อที่ได้จากการอ่องกงทั้ง 10 ตัวอย่าง ไม่ว่าจะมาจากดิน หรือ คนและสัตว์ พบว่ามีแบบแผนเป็นกลุ่มเดียวกับกลุ่มใหญ่แบบที่ 1 ผลที่เห็นจากการสร้างความสัมพันธ์ Phylogenetic tree นี้ ทำให้สามารถคาดเดาว่า เชื้อที่เกิดขึ้นในประเทศอ่องกงน่าจะมาจากประเทศไทย ซึ่งจากข้อมูลนี้เองต้นพบว่าการเกิดการระบาดของเชื้อจะเกิดหลังการเกิดพายุไต้ฝุ่น ซึ่งมีความ

เป็นไปได้ที่จะเกิดจากการกระจายจากส่วนแผ่นดินไปสู่เกาะช่องกง ส่วนลักษณะของเชื้อในประเทศไทยօสเตรเดียมีลักษณะที่จำพานมาก โดยเฉพาะการที่ไม่สามารถจดจำได้ด้วยเอนไซม์ EcoRI ซึ่งแบบแผนของเชื้อจากօสเตรเดียมีว่าจะมาจากดินหรือสัตว์ คน ก็จะมีลักษณะกลุ่มคล้ายกันมาก เช่นนี้อาจทำให้คาดเดาว่าเชื้อออยู่ในทวีปที่แยกตัว ซึ่งการเปลี่ยนแปลงจึงเกิดได้น้อยกว่า

นอกจากนี้คณะผู้วิจัยได้สร้าง Phylogenetic tree ที่อาศัยข้อมูลทั้ง PCR-RFLP ร่วมกับ LPS เพื่อให้ข้อมูลการสร้าง Phylogenetic tree มีค่าที่มากขึ้น เพื่อเปรียบเทียบแนวโน้มในการหาความสัมพันธ์ทั้งระดับ Genotype และ Phynotype ประกอบกัน ผลที่ได้จะเกิดกลุ่มความสัมพันธ์ลดลง เพียง 4 กลุ่มเท่านั้น โดยมีกลุ่มพื้นฐานใหญ่ๆ 2 กลุ่ม ซึ่งในกลุ่มที่ 1 ที่เป็นจำนวนมากที่สุดนี้พบเชื้อทั้ง ไทย ลาว อ่องกง และ օสเตรเดียร์วมอยู่ และมีการแตกสายสัมพันธ์เป็นเชื้อในแหล่งดินของไทยแยกจำพวกอ กมา ส่วนในกลุ่มพื้นฐานที่ 2 พบลักษณะเชื้อที่มาจากไทย ลาว และส่วนใหญ่օสเตรเดีย และมีการแตกสายสัมพันธ์เป็นเชื้อจากօสเตรเดียอย่างเด่นชัด ผลที่ได้นี้หากนำมาวิเคราะห์ก็จะมีแนวโน้มการคาดเดาเช่นเดียวกับข้อมูล Phylogenetic tree ที่มาจากการ PCR-RFLP กล่าวคือ เชื้อที่เกิดขึ้นในประเทศไทยอยู่ในกลุ่มน้ำจะมาจากประเทศไทย ซึ่งจากข้อมูลเบื้องต้นพบว่าการเกิดการระบาดของเชื้อจะเกิดหลังการเกิดพายุไต้ฝุ่น ซึ่งมีความเป็นไปได้ที่จะเกิดจากการกระจายจากส่วนแผ่นดินไปสู่เกาะช่องกง ส่วนลักษณะของเชื้อในประเทศไทยօสเตรเดียมีลักษณะที่จำพานมากโดยเฉพาะการที่ไม่สามารถจดจำได้ด้วยเอนไซม์ EcoRI ซึ่งแบบแผนของเชื้อจากօสเตรเดียมีว่าจะมาจากดินหรือสัตว์ คน ก็จะมีลักษณะกลุ่มคล้ายกันมาก เช่นนี้อาจทำให้คาดเดาว่าเชื้อออยู่ในทวีปที่แยกตัว ซึ่งการเปลี่ยนแปลงจึงเกิดได้น้อยกว่าเช่นกัน

สำหรับการเปรียบเทียบความรุนแรงของเชื้อกับกลุ่มความสัมพันธ์ศึกษาในการวิจัยนี้ กำลังอยู่ระหว่างการขอข้อมูลจากแหล่งต่างๆ เนื่องจากเชื้อที่ได้รับการศึกษานี้ต้องมีการขออนุญาตจากประเทศเจ้าของก่อนจึงทำให้การได้ข้อมูลต่างๆมาทำการวิเคราะห์เปรียบเทียบความรุนแรงได้เป็นที่น่าสนใจจากการศึกษา Genome ของเชื้อนี้ได้เสร็จสิ้นและมีรายงานเมื่อไม่นานมานี้ ในการศึกษาความรุนแรงของเชื้อคั่งค่าว่าจะมีความสามารถที่เชื้อสามารถรับถ่ายยืนจากสิ่งภายนอกได้ง่าย และรวดเร็ว เนื่องจากพบว่าใน Genome มี Genomic Island (GI) ค่อนข้างสูง 16 GI โดยในสายพันธ์ที่แตกต่างกันก็จะพบจำนวน GI ต่างกัน ซึ่งเชื้อว่าเป็นสิ่งที่บ่งบอกความรุนแรงของเชื้อนี้

อย่างไรก็ตามจากการศึกษาในโครงการวิจัยดังกล่าวสามารถนำข้อมูลและการวิเคราะห์ที่พบความสัมพันธ์และการกระจายของเชื้อที่มีนัยสำคัญ รวมทั้งสร้างองค์ความรู้ต่อความเข้าใจในการจัดการโดยเฉพาะการระบาดของเชื้อในกรณีของช่องช่องกงซึ่งสามารถบ่งชี้แหล่งของเชื้อในการแพร่ระบาดนั้นได้ อีกทั้งในส่วนของเชื้อจากแหล่งดินในประเทศไทยมีขอน่าสนใจแต่เนื่องจากศึกษาในจำนวนน้อยเกินไป คณะผู้วิจัยคาดว่าจะศึกษาในกลุ่มนี้เพิ่มเติม และจะทำให้มีข้อมูลที่ชัดเจนพร้อมที่จะนำส่งต่อพิมพ์ในวารสารนานาชาติต่อไป

ເອກສາຣອ້າງອີງ

1. Anuntagool, N., Aramsri, P., Panichakul, T., Wuthiekanun, V., Kinoshita, R., White, N.J. and Sirisinha, S. (2000) Antigenic heterogeneity of lipopolysaccharide among *Burkholderia pseudomallei* clinical isolates. Southeast Asian J. Trop. Med. Public. Health. 31, 146-152.
2. Burtnick, M.N., Woods, D.E. (1999) Isolation of polymyxin B-susceptible mutants of *Burkholderia pseudomallei* and molecular characterization of genetic loci involved in polymyxin B resistance. Antimicrobial Agents and Chemotherapy, 43, 2648-2656.
3. Dance, D.A.B. (2000) Melioidosis as an emerging global problem. Acta Tropica 74, 115-119.
4. Inglis, T.J.J., Garrow, S.C., Adams, C., Henderson, M., Mayo, M. (1998) Dry season outbreak of melioidosis in Western Australia. Lancet 352, 1600.
5. Pitt, T.L., Trakulsomboon, S., Dance, D.A.B. (2000) Molecular phylogeny of *Burkholderia pseudomallei*. Acta Tropica 74, 181-185.
6. Suputtamongkol, Y., Hall, A.J., Dance, D.A., Chaowagul, W., Rajchanuvong, A., Smith, M.D., White, N.J. (1994) The epidemiology of melioidosis in Ubon Rachatani, northeast Thailand. Int. J. Epidemiol. 23, 1082-1090.
7. Trakulsomboon, S., Dance, D.A.B., Smith, M.D., White, N.J., Pitt, T.L. (1997) Ribotype differences between clinical and environmental isolates of *Burkholderia pseudomallei*. J. Med. Microbiol. 46, 565-570.
8. Vadivelu, J., Puthucheary, S.D., Mifsud, A., Drasar, B.S., Dance, D.A.B., Pitt, T.L. (1997) Ribotyping and DNA macrorestriction analysis of isolates of *Burkholderia pseudomallei* from cases of melioidosis in Malaysia. Trans. R. Soc. Trop. Med. Hyg. 91, 358-360.
9. Matthew, T.G., Holden et al., (2004) Genomic plasticity of the causative agent of melioidosis, *Burkholderia pseudomallei*. PNAS. 101, 14240-14245.

ภาคผนวก

โครงการศึกษาวิจัยนี้เป็นการศึกษาความหลากหลายของเชื้อแบคทีเรียที่ก่อโรคในคน โดยเฉพาะคนไทยในภาคอีสาน ซึ่งส่วนใหญ่เป็นชาวนาที่จะได้รับการติดเชื้อดังกล่าว การนำความรู้และเทคนิคทางพันธุวิศวกรรมและการใช้ Molecular marker ใน การศึกษาวิเคราะห์ความหลากหลายของเชื้อก่อโรคนี้ ถึงแม้จะไม่ได้นำไปสู่การพัฒนาการจัดการชีวภาพของเชื้อในการค้าเชิงพาณิชย์ แต่ก็สามารถนำองค์ความรู้ที่ได้มาใช้พัฒนาการจัดการชีวภาพของเชื้อในเชิงวิจัยและการและเชิงระบบวิทยาที่จะสนับสนุนการจัดการทางสาธารณสุขได้ และเนื่องจากการศึกษานี้เป็นการศึกษาในระดับนำร่องซึ่งข้อมูลที่ได้ยังไม่สามารถนำไปจัดการในเชิงระบบวิทยาที่จะสนับสนุนการจัดการทางสาธารณสุขได้ก็ตาม แต่การวิจัยนี้ได้เป็นส่วนหนึ่งของการสร้างนักวิจัยในระดับปริญญาตรีถึง 2 คน ซึ่งเป็นนักศึกษาในระดับชั้นปีที่ 3 และ 4 ภาควิชาชีววิทยา คณะวิทยาศาสตร์ มหาวิทยาลัยมหิดล ซึ่งนับว่าเป็นสิ่งสำคัญในการสร้างและพัฒนาทรัพยากรบุคคลที่สามารถจะนำความรู้พื้นฐานนี้ไปพัฒนาต่อไป

นอกจากนี้ผลการศึกษาวิจัยที่ได้นี้มีโอกาสได้นำเสนอผลงานในรูปแบบโปสเตอร์ ในการประชุมวิชาการประจำปีครั้งที่ 9 ของ BRT ที่จัดที่จังหวัดสุราษฎร์ธานี และการประชุมของสมาคมวิทยาศาสตร์แห่งประเทศไทย ครั้งที่ 30 (วทท.30) โดยนักศึกษาทั้ง 2 ท่านได้มีโอกาส และส่วนร่วมในการประชุมด้วย

สำหรับการเผยแพร่ผลงานกำลังอยู่ระหว่างการรอข้อมูลของแหล่งที่มาของเชื้อในແງ່ความรุนแรง และจะต้องเพิ่มเติมในส่วนของตัวอย่างแหล่งดินในประเทศไทย แล้วจะรวบรวมตีพิมพ์ในวารสารนานาชาติต่อไป

ในส่วนการขยายงานเพิ่มเติม หาก BRT เห็นควรให้การสนับสนุนเพื่อให้ผลงานมีความชัดเจนและเป็นประโยชน์ ซึ่งคณะผู้วิจัยตั้งใจจะทำเพิ่มในส่วนของตัวอย่างแหล่งดินในประเทศไทย และเพิ่มในส่วนของตัวอย่างจากประเทศไทยเวียดนาม ซึ่งได้ทำการติดต่อขออนุมัติในการศึกษาและได้รับการตอบอนุมัติแล้ว หากได้รับการสนับสนุนต่ออีก 1 ปี ก็จะสามารถตีพิมพ์ผลงานได้อีก สมบูรณ์

